

شناسایی ارتباط هسته‌های مزانسفالیک رافه با استریاتوم، هیپوکامپ و سپتوم جانبی در مغز موش رت

دکتر غلامرضا حسن‌زاده^{*} دکتر ژیلا بیدزادی^{**}

□ پنکیکده :

این مطالعه به منظور شناسایی ارتباط هسته‌های مزانسفالیک رافه با استریاتوم، هیپوکامپ و سپتوم جانبی در مغز موش با استفاده از ردیاب رتروگراد *HRP* (*Horseradish Peroxidase*) (انجام *HRP* به کمک دستگاه استریوتاکس) به نواحی مورد نظر تزریق شد. ۴۸ تا ۷۲ ساعت پس از جراحی، حیوان با بیهوشی عمیق از طریق قلب توسط محلول‌های فیکساتیو پرفیوز شده و سپس مغز حیوان از جمجمه خارج شد. توسط میکروتوم انجامادی مقاطع ۴۰ میکرومتری از مغز تهیه گردید. سپس به منظور نشان دادن آنزیم در نورون‌های ردیابی شده، بر روی تمام مقاطع واکنش هیستوشیمیایی انجام شد. با قرار دادن مقاطع بر روی لام‌های ژلاتینه شده، توسط رنگ قرمز خنثی رنگ‌آمیزی انجام و نورون‌های نشاندار توسط میکروسکوپ نوری مورد مطالعه توپوگرافی قرار گرفت. مقاطع انتخابی توسط میکروپرتوکتور ترسیم شدند و برای آنالیز اطلاعات و ترسیم هیستوگرام‌ها از برنامه کامپیوتری هاروارد گرافیک استفاده شد.

پس از تزریق *HRP* به دورسال استریاتوم، ونترال استریاتوم و سپتوم جانبی مشاهده شد که تعداد نورون‌های نشاندار در هسته دورسال رافه در جهت سری - دمی کاهش می‌یابد. در حالی که پس از تزریق به هیپوکامپ، تعداد نورون‌های نشاندار در هسته دورسال رافه افزایش می‌یابد. پس از تزریق *HRP* به دورسال استریاتوم، هیپوکامپ و سپتوم جانبی در بخش میانی هسته مدیان رافه بیشترین نورون نشاندار دیده شد و هرچه در جهت سری یا دمی هسته پیش رفتیم تعداد نورون‌های نشاندار کاهش یافت. در نهایت استریاتوم به عنوان ساختمانی که بیشتر با هسته دورسال رافه مرتبط است، هیپوکامپ به عنوان ساختمانی که بیشتر با هسته مدیان رافه مرتبط است و سپتوم جانبی به عنوان ساختمانی که با هر دو هسته مزانسفالیک رافه ارتباط دارد، شناخته شدند.

□ **کلید واژه‌ها :** هسته دورسال رافه - هسته مدیان رافه - استریاتوم - هیپوکامپ - سپتوم جانبی - هسته‌های مزانسفالیک رافه

Keywords : *Dorsal raphe nucleus*, *Median raphe nucleus*, *Striatum*, *Hippocampus*, *Lateral Septum*, *Mesencephalic raphe nuclei*, *Basalforebrain*, *Rat*

□ مقدمه :

و نقش تعیین کننده آنها در مکانیزم رفتار، شناخت، انگیزه و پاتولوژی آن در بیماری‌های ذکر شده که در ارتباط با ساختمان‌هایی نظیر استریاتوم، سپتوم و هیپوکامپ می‌باشد، لزوم بررسی آناتومیک دقیق‌تر راه‌های صعودی هسته‌های دورسال و مدیان رافه را مطرح می‌سازد.

در مطالعه حاضر برآن شدیم تا ابران‌های صعودی هسته‌های دورسال و مدیان رافه را به استریاتوم، سپتوم جانبی و هیپوکامپ که از ساختمان‌های اصلی کولینرژیک در مغز می‌باشند، با استفاده از تکنیک ردیابی عصبی مورد بررسی قرار دهیم. در اولین قدم با توجه به اینکه استریاتوم به دو بخش ونترال (مرتبط با سیستم لیمیک) و دورسال (بخش غیرلیمیک) تقسیم می‌شود و دارای نوروترانسمیترهای متفاوتی در این دو قسمت می‌باشد، خروجی‌های هسته‌های دورسال و ونترال بررسی نمودیم (۳ و ۸). سپس بر پایه مطالعات گذشته به مطالعه ارتباطات هسته‌های دورسال و مدیان رافه با هیپوکامپ و سپتوم جانبی پرداختیم (۴ و ۹ و ۱۳ و ۲۲ و ۲۴).

□ مواد و روش‌ها :

در این تحقیق از ۳۲ موش نر سفید آزمایشگاهی (Rat) با وزن ۲۵۰ تا ۳۲۰ گرم استفاده شد و هیچگونه محدودیت غذا یا آب برای حیوانات وجود نداشت. برای اطمینان کار تعداد ۷ تا ۹ موش برای تزریق هر ناحیه در نظر گرفته شد. حیوان را توسط نمبوتاں سدیم (۴۰ میلی گرم / کیلوگرم) به صورت داخل صفاقی (IP) بسیهوش نمودیم. سپس سر حیوان را در دستگاه استریوتاکس (Stoelting-51600) ثابت و توسط اسکالپل شکافی در خط وسط سر از فاصله بین دو چشم تا نزدیک گردن ایجاد کرده و اسکالپ را کنار

هسته‌های دورسال و مدیان رافه (هسته‌های مزانسفالیک رافه) بیشترین نورون‌های سروتونرژیک مغز را در خود دارند. علاوه بر این، نوروترانسمیترهای دیگری نظیر دوبامین، ماده P و انکفالین نیز به طور مستقل یا هم‌جاوار با سروتونین در نورون‌های هسته‌های مزبور وجود دارند (۱۹). ارتباطات وجود نوروترانسمیتر سروتونین و دیگر نوروترانسمیترها در هسته‌های مزانسفالیک رافه نقش مهم این هسته‌ها را در فعالیت‌های مهمی نظیر خواب، ریتم روزانه، تنظیم حرارت، درد، فعالیت‌های حرکتی، فرایندهای حسی، یادگیری، حافظه و فعالیت‌های جنسی مطرح می‌کند (۶). به دنبال لیزن هسته‌های دورسال و مدیان رافه سطح سروتونین در تلانسفال به میزان ۹۷ درصد، در دیانسفال ۵۴ درصد و در تنہ مغزی ۱۹ درصد کاهش می‌یابد (۱۳). بنابر این، می‌توان نتیجه گرفت که خروجی‌های اصلی هسته‌های مزانسفالیک رافه صعودی هستند.

مطالعات متعدد نشان می‌دهند که در بیماری‌ها و اختلالات حرکتی مختلف نظیر بیماری‌های پارکینسون، آلزایمر و هانتینگتون، غلظت سروتونین و گیرنده‌های اختصاصی این نوروترانسمیتر در ساختمان‌های Basal Forebrain و دیانسفال کاهش می‌یابد (۱۰ و ۱۱). از مشخصات نوروپاتولوژی بیماری آلزایمر این است که علاوه بر نورون‌های کولینرژیک، جماعت‌های نورونی دیگر نظیر نورون‌های سروتونرژیک نیز دچار فرایندهای دژنراتیو می‌شوند (۵). پیشنهاد شده است که اثر متقابل سیستم‌های سروتونرژیک و کولینرژیک در نواحی خاص مغز مانند کورتکس، هیپوکامپ و استریاتوم سبب ایجاد فرایندهای شناختی می‌شود (۵ و ۷).

مقایسه اطلاعات به دست آمده از تحقیقات مختلف در خصوص خروجی‌های هسته‌های مزانسفالیک رافه

(American Optical Corporation CRYO-CUT Microtome) مقاطعی به ضخامت ۴۰ میکرومتر تهیه و آنها را در شیشه‌های حاوی بافرسفات ۱٪ مولار ($PH = ۷/۴$) به مدت ۱۲ تا ۲۴ ساعت نگهداری نمودیم. مقاطع را عبارت از آب مقطر شستشو دادیم (هر بار ۱۰ تا ۱۵ ثانیه) و سپس به مدت ۲۰ دقیقه در محلول انکوباسیون خیساندیم. پس از خیساندن مقاطع، جهت آشکار نمودن فعالیت HRP، واکنش آنزیمی با افزودن آب اکسیژنه ۳٪ درصد دنبال شد. در مرحله بعد، مقاطع را توسط محلول پس از واکنش ۶ بار شستشو و آنها را بر روی لام‌های ژلاتینه شده قرار دادیم. مقاطع توسط رنگ قرمز خنثی رنگ آمیزی شدند و توسط چسب Merck Entellen (Merck) بر روی آنها لامل گذاشته شد.

لام‌ها توسط میکروسکوپ نوری بررسی و سلول‌های نشان‌دار شده براساس اطلس پاکسینوس و واتسون جایگذاری شدند. سپس توسط میکروپرتوکتور، مقاطع مورد نیاز ترسیم و توسط میکروسکوپ (Ziss) عکس برداری انجام شد و نورون‌های نشان‌دار در مقاطع مختلف بررسی شدند.

یافته‌ها:

نتایج مطالعه نشان داد آنزیم HRP که به نواحی دورسال استریاتوم یا ونترال استریاتوم یا هیپوکامپ و یا سپتوم جانبی تزریق شد از طریق پینوستیوز در پایانه‌های عصبی جذب شده و در جهت رتروگراد به سمت پریکارپیون نورون‌ها رفت و در سیتوپلاسم نورون رسوب می‌کند (شکل‌های ۱ و ۲).

با در نظر گرفتن اینکه هسته‌های رافه در خط میانی تنۀ مغزی قرار دارند و تزریق ردیاب نیز به صورت یک طرفه (Ipsilateral) بود، تعداد زیادی از سلول‌ها در یک طرف هسته و یا در خط میانی آن قرار گرفتند. ولی به علت تقاطع الیاف خروجی، تعدادی نورون

زدیم تا جمجمه نمایان شود. در این مرحله برگما (Bregma) را مشخص کرد و با استفاده از اطلس پاکسینوس مشخصات محل تزریق را تعیین نمودیم. محل مورد نظر را به وسیله مته بر قری سوراخ کرده و توسط پنس سخت شامه را برداشتم. سپس ۳٪ تا ۵٪ میکرولیتر (Sigma HRP) با غلظت ۳۳ درصد را توسط سرنگ هامیلتون ۱ میکرولیتر در نواحی دورسال استریاتوم، ونترال استریاتوم، هیپوکامپ و سپتوم جانبی تزریق کردیم. تزریق به آرامی انجام شد و پس از تزریق به مدت ۱۰ تا ۱۵ دقیقه سرنگ را در داخل مغز نگه داشتم تا از پخش شدن HRP جلوگیری شود. پس از پایان تزریق، موضع را ضد عفونی کرده و بخیه نمودیم. سپس حیوان را به قفس بزرگ‌دانده و ۷۲ تا ۷۲ ساعت از آن مراقبت کردیم. سپس مجدداً حیوان را توسط نمبوتال سدیم (۴۵ میلی‌گرم / کیلوگرم) از طریق تزریق داخل صفاقی (IP) عمیقاً بیهوش کردیم. قفسه سینه حیوان را باز کرده و قلب را از پریکارد جدا کردیم. بعد، آنورت نزولی را بسته و کانولی را وارد آنورت صعودی کردیم.

پس از شستشوی عروق مغز توسط ۵٪ تا ۱۰۰ میلی‌لیتر سرم فیزیولوژیک، فیکساتیو را تزریق نمودیم. ۵۰۰ میلی‌لیتر فیکساتیو محتوی گلوتارآلدئید ۱/۲۵ درصد (AGAR AIDS) و پارافرمالدئید ۱ درصد (Sigma) در بافرسفات ۱٪ مولار ($PH = ۷/۴$) به مدت ۳۰ دقیقه و به دنبال آن ۵۰ میلی‌لیتر بافرسفات محتوی سوکروز ۱ درصد (۴ درجه سانتی‌گراد و $PH = ۷/۴$) به مدت ۲۰ دقیقه عبور دادیم. پس از اتمام پرفیوژن، بلا فاصله مغز را خارج کردیم و آن را در بافرسفات سوکروز ۱۰ درصد که محتوی ۱۰ درصد گلیسرول نیز بود به مدت ۱۲ تا ۱۴ ساعت در ۴ درجه سانتی‌گراد قرار دادیم. سپس مغز موش را با قرار دادن در ازت مایع (۱۹۶- درجه سانتی‌گراد) به مدت ۲۰ دقیقه منجمد نموده و توسط میکروتوم انجامدادی

پارامدیان هسته میدیان رافه نیز تعداد زیادی سلول نشان دار مشاهده شد (نقطه های A و B) (شکل شماره ۶). مقایسه کلیه نتایج به دست آمده نشان می دهد که پس از تزریق به دورسال استریاتوم، و نترال استریاتوم و سپتوم جانبی، تعداد سلول های نشان دار در هسته دورسال رافه در جهت سری - دمی کاهش یافت (نقطه های A تا D). در هسته میدیان رافه (MnR) تراکم سلول های نشان دار در بخش میانی هسته (B) بیش از بخش های روسترال (نقطه A) و کودال (نقطه C) هسته بود. هیچگونه سلول نشان داری در بخش پارامدیان هسته میدیان رافه دیده نشد (نقطه های A تا C) (شکل شماره ۳).

پس از تزریق HRP به نترال استریاتوم (نقطه b)، تعداد سلول های نشان دار در هسته دورسال رافه (DR) در جهت سری - دمی کاهش یافت (نقطه های A تا D). در هسته میدیان رافه (MnR) نیز تعداد سلول های نشان دار در جهت سری - دمی کاهش یافت. علاوه بر این، در بخش پارامدیان هسته میدیان رافه سلول نشان دار دیده نشد (نقطه های A تا C) (شکل شماره ۴).

پس از تزریق HRP به هیپوکامپ (نقطه C)، تعداد سلول های نشان دار در بخش کودال (نقطه های C و D) هسته دورسال رافه (DR) بیشتر از تعداد سلول های نشان دار در بخش روسترال هسته فوق بود (نقطه های A و B). در هسته میدیان رافه (MnR) که نسبت به هسته دورسال رافه تعداد بیشتری سلول نشان دار دارد، در بخش میانی هسته (B) تراکم سلول های نشان دار بیش از بخش های روسترال (نقطه A) و کودال (نقطه C) هسته بود. در بخش پارامدیان هسته میدیان رافه نیز تعدادی سلول نشان دار دیده شد (نقطه های A و B) (شکل شماره ۵).

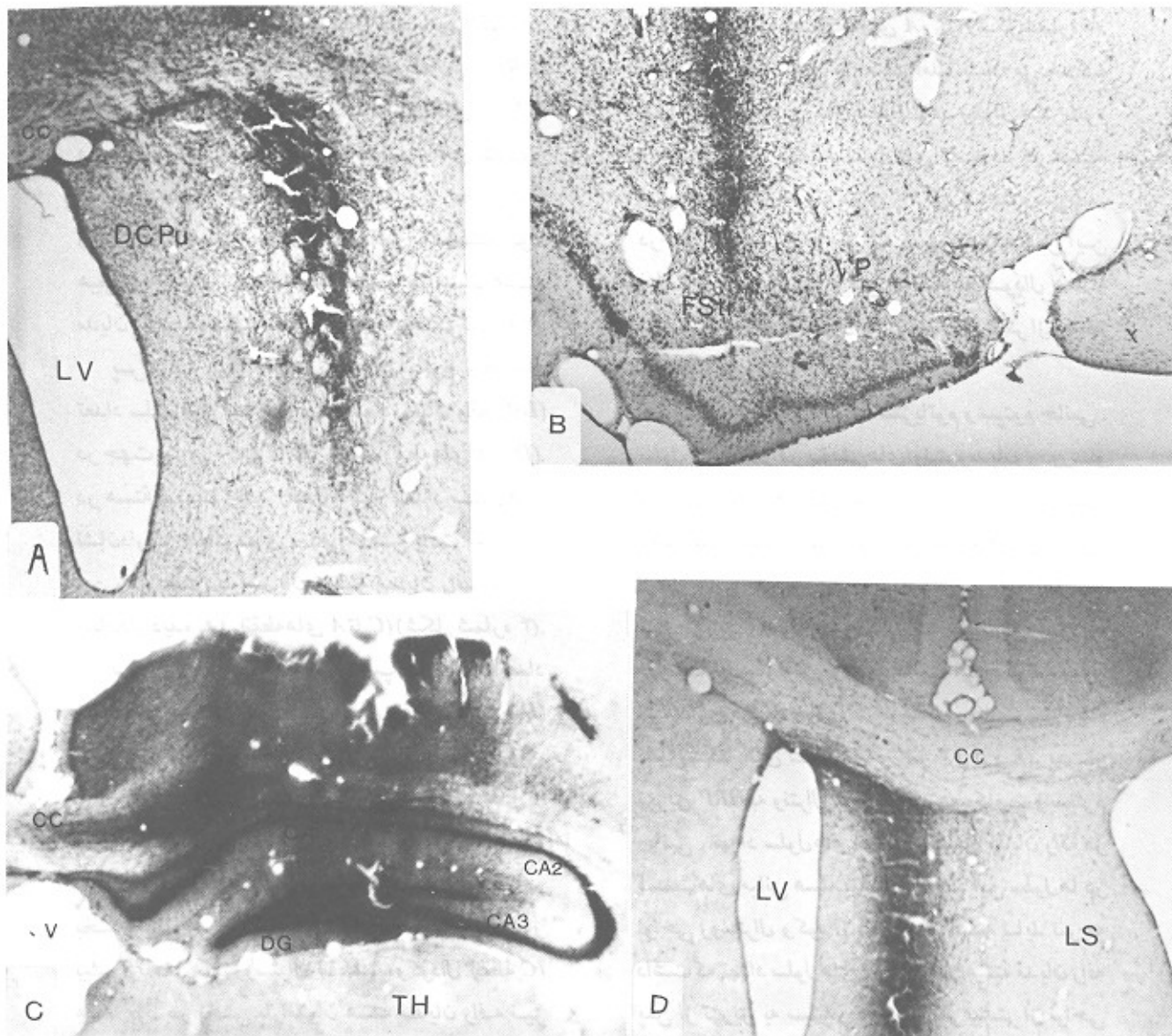
پس از تزریق HRP به سپتوم جانبی و هیپوکامپ، در بخش پارامدیان هسته میدیان رافه تعدادی نورون نشان دار در بخش پارامدیان هسته میدیان رافه مشاهده شد. در حالی که پس از تزریق به دورسال استریاتوم و نترال استریاتوم هیچگونه سلول نشان داری در بخش پارامدیان دیده نشد.

نشان دار در طرف مقابل محل تزریق نیز دیده شدند. پس از تزریق HRP به دورسال استریاتوم (نقطه a)، تراکم سلول های نشان دار در هسته دورسال رافه (DR) در جهت سری - دمی کاهش یافت (نقطه های A تا D). در هسته میدیان رافه (MnR) تراکم سلول های نشان دار در بخش میانی هسته (B) بیش از بخش های روسترال (نقطه A) و کودال (نقطه C) هسته بود. هیچگونه سلول نشان داری در بخش پارامدیان هسته میدیان رافه دیده نشد (نقطه های A تا C) (شکل شماره ۳).

پس از تزریق HRP به نترال استریاتوم (نقطه b)، تعداد سلول های نشان دار در هسته دورسال رافه (DR) در جهت سری - دمی کاهش یافت (نقطه های A تا D). در هسته میدیان رافه (MnR) نیز تعداد سلول های نشان دار در جهت سری - دمی کاهش یافت. علاوه بر این، در بخش پارامدیان هسته میدیان رافه سلول نشان دار دیده نشد (نقطه های A تا C) (شکل شماره ۴).

پس از تزریق HRP به هیپوکامپ (نقطه C)، تعداد سلول های نشان دار در بخش کودال (نقطه های C و D) هسته دورسال رافه (DR) بیشتر از تعداد سلول های نشان دار در بخش روسترال هسته فوق بود (نقطه های A و B). در هسته میدیان رافه (MnR) که نسبت به هسته دورسال رافه تعداد بیشتری سلول نشان دار دارد، در بخش میانی هسته (B) تراکم سلول های نشان دار بیش از بخش های روسترال (نقطه A) و کودال (نقطه C) هسته بود. در بخش پارامدیان هسته میدیان رافه نیز تعدادی سلول نشان دار دیده شد (نقطه های A و B) (شکل شماره ۵).

پس از تزریق HRP به سپتوم جانبی (نقطه d)، تعداد سلول های نشان دار در هسته دورسال رافه (DR) در جهت سری - دمی کاهش یافت (نقطه های A تا D). در هسته میدیان رافه (MnR) تراکم سلول های نشان دار در بخش میانی هسته (B) بیش از بخش های روسترال (نقطه A) و کودال (نقطه C) بود. در بخش



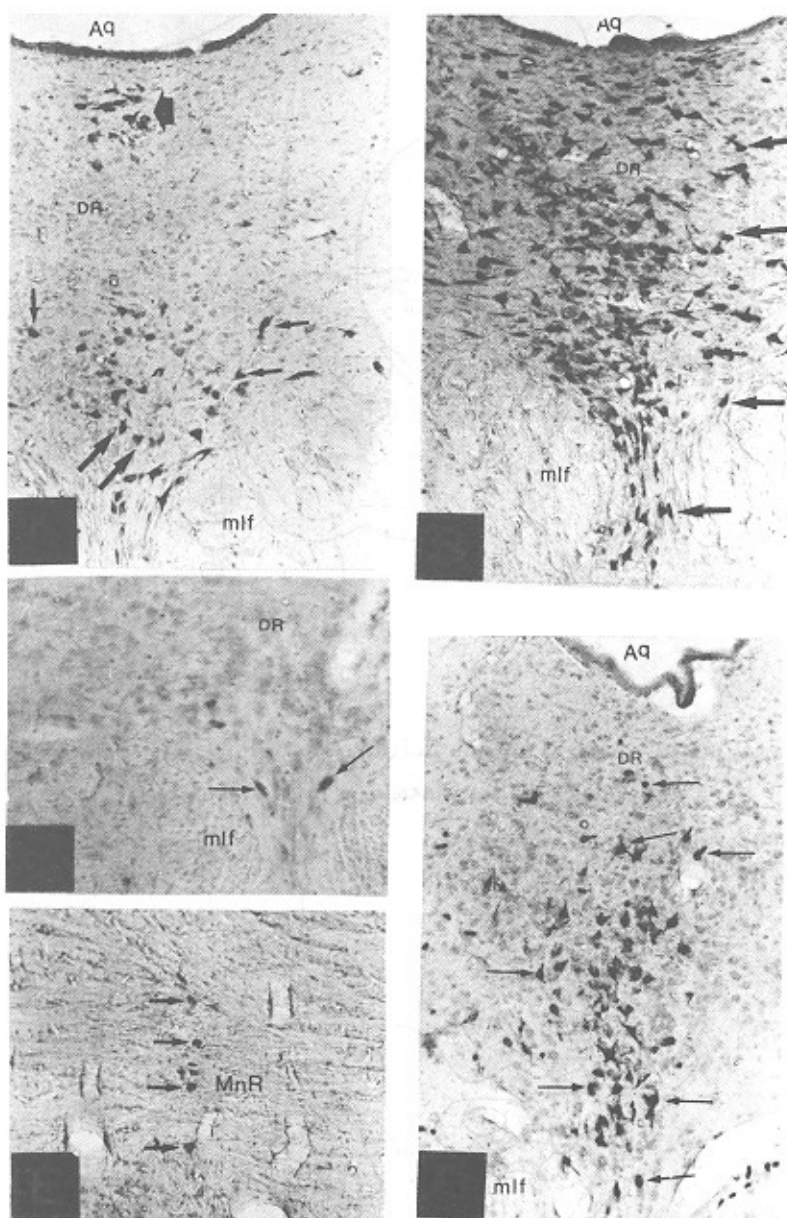
شکل ۱ :

تصاویر میکروسکوپیک مربوط به محل تزریق HRP
به دورسال استریاتوم (A) ، ونترال استریاتوم (B) ، هیپوکامپ (C) و سپتوم جانبی (D)

$3V$ = بطن سوم
 CC = جسم پنبه‌ای
 DG = گیروس دندانهایی
 LS = سپتوم جانبی

TH = تalamوس
 VP = ونترال پالیدوم
 $CAT-3$ = فیلدهای ۱ تا ۳ شاخ آمون
 $DCPU$ = دورسال استریاتوم

$FStr$ = ونترال استریاتوم
 LV = بطن جانبی
 OX = کیاسماهی بینایی



شکل ۲ :

تصاویر میکروسکوپیک مربوط به هسته دورسال رافه (DR)

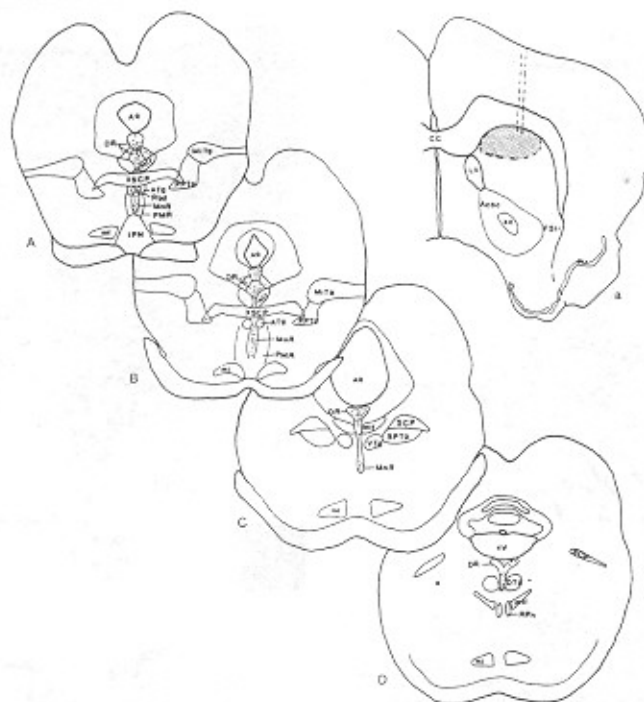
پس از تزریق به دورسال استریاتوم (A) ، ونترال استریاتوم (B) ، هیبوکامپ (C) و سپتوم جانبی (D)
و تصویر میکروسکوپیک سلول‌های نشان‌دار در هسته میان رافه (MnR)

سپتوم جانبی (B و D) و تعداد بسیار کم سلول‌های نشان‌دار در هسته دورسال رافه پس از تزریق به هیبوکامپ (C) توجه کنید.

Aq = قنات سیلویوس

mlf = دسته طولی داخلی

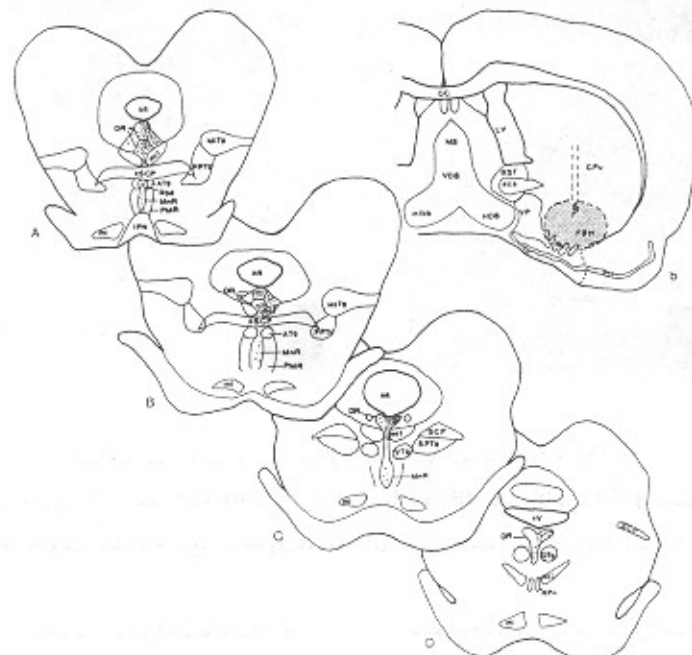
در تصاویر فوق سلول‌های نشان‌دار با پیکان نشان داده شده‌اند. به تعداد زیاد سلول‌های نشان‌دار در هسته دورسال رافه پس از تزریق به ونترال استریاتوم و



شکل ۳ :

ترسیم شماتیک محل تزریق HRP به دورسال استریاتوم (a) که با هاشور مشخص شده است و سلول‌های نشان‌دار در هسته‌های دورسال و مدیان رافه

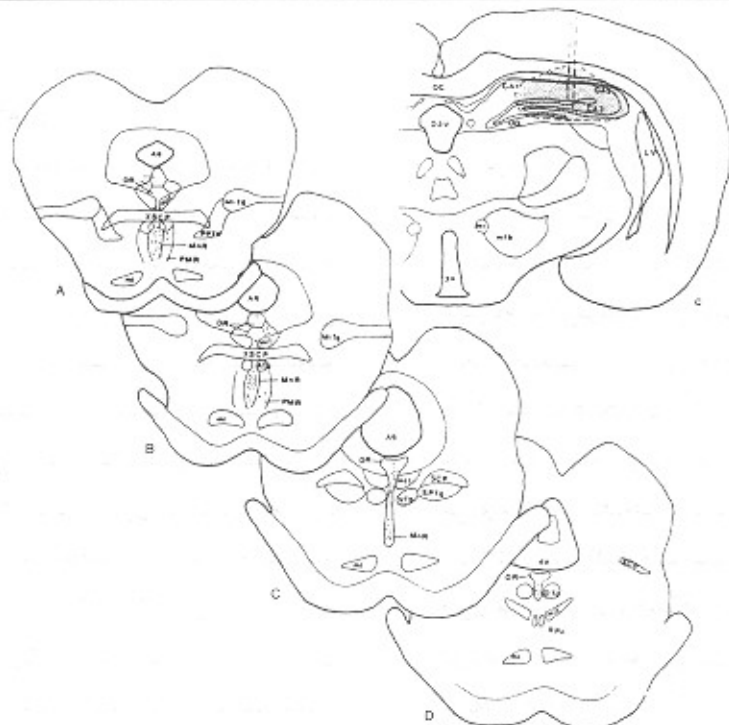
Scale Bar = 1 mm



شکل ۴ :

ترسیم شماتیک محل تزریق HRP به وترمال استریاتوم (b) که با هاشور مشخص شده است و سلول‌های نشان‌دار در هسته‌های دورسال و مدیان رافه

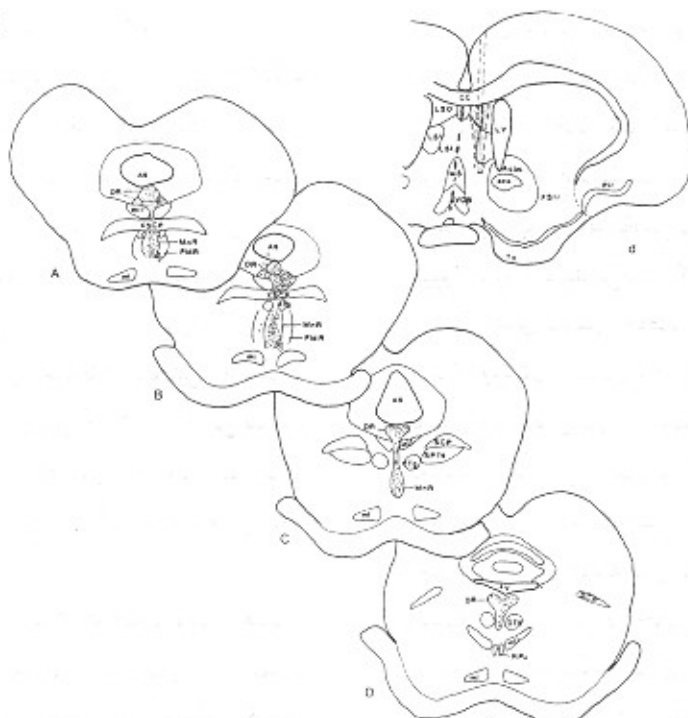
Scale Bar = 1 mm



شکل ۵:

ترسیم شماتیک محل تزریق HRP به هیپوکامپ (C) که با هاشور مشخص شده است و سلول‌های نشان‌دار در هسته‌های دورسال و میدان رافه

Scale Bar = 1 mm



شکل ۶:

ترسیم شماتیک محل تزریق HRP به سیتوم جانبی (d) که با هاشور مشخص شده است و سلول‌های نشان‌دار در هسته‌های دورسال و میدان رافه

Scale Bar = 1 mm

بحث و نتیجه‌گیری:

سروتونرژیک از نوع دوپامینرژیک هستند (۱۹). نتایج ما نشان می‌دهند که هسته مدیان را به نسبت به هسته دورسال را به ایاف بیشتری را به سمت هیپوکامپ می‌فرستد. این نتایج با یافته‌های محققان دیگر مطابقت دارد (۱ و ۴ و ۶ و ۱۳ و ۱۸ و ۲۴).

آزمیتیا و همکاران نشان دادند که از سراسر طول هسته مدیان را به وابران‌هایی به سمت هیپوکامپ می‌روند که این یافته‌ها نیز با نتایج ما مطابقت دارد. ولی باید مذکور شد که تراکم سلول‌های نشان دار در تمام طول هسته مدیان را به یکسان نیست. بدین ترتیب که در بخش میانی هسته، تراکم سلول‌های نشان دار بیشتر از بخش‌های روسترا و کودال هسته می‌باشد.

نتایج ما نشان می‌دهند که بخش کودال هسته دورسال را به نسبت به بخش روسترا این هسته، وابران‌های بیشتری را به سوی هیپوکامپ می‌فرستند. یافته‌های ما نظریات بویلیر که براساس روش اتورادیوگرافی اظهار نمود هیچگونه ارتباطی بین هسته دورسال را به هیپوکامپ وجود ندارد (۲۰) را رد کرده و نتایج مبنی بر ارتباط بخش کودال هسته دورسال را به هیپوکامپ را تأثید می‌کند (۲۴).

یافته‌های بررسی حاضر بیانگر آن است که هر دو هسته دورسال و مدیان را به سپتوم جانی ارتباط بسیار گسترده‌ای دارند و سلول‌های نشان دار در هسته دورسال را به پس از تزریق *HRP* به سپتوم جانی در جهت سری - دمی کاهش می‌یابد. به عبارت دیگر بخش روسترا هسته دورسال را به ارتباط بیشتری با سپتوم جانی دارد. در حالی که ورتس معتقد است که بخش کودال هسته دورسال را به ارتباط بیشتری با سپتوم جانی دارد (۲۴)، ولی به طور کلی گزارشات سایر محققان مبنی بر ارتباط گسترده هسته‌های مزانسغالیک را به با سپتوم جانی مؤید نتایج ما

در این مطالعه برآن شدیم که به طور مقایسه‌ای ابعاد ارتباط هسته‌های مزانسغالیک را به دورسال استریاتوم، ونترال استریاتوم، هیپوکامپ و سپتوم جانبی نشان دهیم. امروزه استریاتوم را به دو بخش دورسال غیرلیمیک و ونترال وابسته به سیستم لیمیک تقسیم می‌کنند (۸). براساس این تقسیم بندی یافته‌های ما نشان می‌دهند که هسته دورسال را به نسبت به هسته مدیان را به ارتباط بیشتری با استریاتوم دارد که این نکته توسط سایر محققین نیز مورد تأثید قرار گرفته است (۱ و ۴ و ۲۲ و ۲۳ و ۲۴). از طرفی ارتباط هسته دورسال را به با ونترال استریاتوم بیش از دورسال استریاتوم است که با نتایج تحقیقات ایمونوستوشیمی استنبیوش و همچنین تحقیقات ورتس که با روش انتقال *Anterograde Phaseolus Vulgaris Leucoagglutinin* انجام شده است، مطابقت دارد (۲۰ و ۲۴).

در این بررسی دریافتیم که پس از تزریق *HRP* به دورسال و ونترال استریاتوم، تعداد نورون‌های نشان دار در هسته دورسال را به درجهت سری - دمی کاهش می‌یابد. این نکته با نتایج ورتس مطابقت ندارد زیرا وی مذکور شده است که دورسال استریاتوم بیشتر از بخش کودال هسته دورسال را به ایاف آوران دریافت می‌کند و ونترال استریاتوم عمدها از بخش روسترا هسته مزبور ایاف آوران می‌گیرد (۲۴). البته این تفاوت ممکن است به علت استفاده از ردیاب آنتروگراد *PHA-L* باشد که در بخش‌های مختلف هسته دورسال را به تزریق شده است.

میتو نن گزارش کرده است که ایاف وابران هسته مدیان را به هیپوکامپ می‌روند، عمدها از سروتونرژیک هستند. ولی ایاف غیر سروتونرژیک نیز از هسته مدیان را به سمت هیپوکامپ فرستاده می‌شود (۱۲). به عقیده سمتا تعدادی از این ایاف غیر

بیشتر با هسته مدیان رافه مرتبط هستند. در حالی که سپتوم جانی با هر دو هسته مزانسفالیک رافه ارتباط گسترده‌ای دارد.

می‌باشد (۱ و ۱۳ و ۲۴).

از بررسی فوق می‌توان نتیجه گیری کرد که استریاتوم بیشتر با هسته دورسال رافه و هیپوکامپ

مراجع ☐

1. Azmitia E.C. and segal M. An autoradiographic analysis of the differential ascending projections of the dorsal and median raphe neuclei in the rat. *J. Comp. Neurol.* 1978 ; 179 : 641-68.
2. Behzadi G. etal. Afferents to the median raphe nucleus of the rat : Retrograde cholera toxin and wheat germ conjugated horseradish peroxidase tracing and selective D-[H3] aspartate labelling of possible excitatory amino acid inputs. *Neurosci.* 1990 ; 37 (1) : 77-100.
3. Berendse H.W. , Groenewegen H.J. and Lohman A.H.M. , Compartmental distribution of ventral striatal neurons projecting to the mesencephalon in the rat. *J. Neurosci.* 1992 ; 12 (6) : 2079-2103.
4. Bobillier P. etal. Differential projections of the nucleus raphe dorsalis and nucleus raphe centralis as revealed by autoradiography. *Brain Res.* 1975 ; 85 : 205-10.
5. Cassel J.C. etal. Effects of grafts containing cholinergic and/or serotonergic and noradrenergic markers in the denervated rat hippocampus. *Brain Res.* 1993 ; 604 : 53-63.
6. Conrad L.C.A. , Leonard C.M. , and pfaff W., Connections of the median and dorsal raphe nuclei in the rat : An autoradiographic and degeneration study. *J. Comp. Neurol.* 1974 ; 156 : 179-206.
7. Davidoff M.S. , and Lolova I.S. Age-related changes in serotonin-immunoreactivity in the telencephalon and diencephalon of rats. *J. Hirnforsch.* 1991 ; 32 (6) : 745-53.
8. Gerefen C.R. The neostriatal mosaic : Striatal patch-matrix organization is related to cortical lamination. *Science.* 1989 ; 246 : 385-8.
9. Kinnery G.G. , Koosis B. and vertes R.P. Injection of excitatory amino acid antagonists into the median raphe nucleus produce hippocampal theta rhythm in the urethan anesthetized rat. *Brain Res.* 1994 ; 654 : 96-104.
10. Lavoie B. and parent A. Immunohistochemical study of serotonergic innervation of the basal ganglia in the squirrel Monkey. *J. Comp. Neurol.* 1990 ; 299 : 1-16.
11. Lavoie B. and parent A. Serotonergic innervation of the thalamus in the primate : An immunohistochemical study. *J. Com. Neurol.* 1991 ; 312 : 1-18.
12. Miittinen R. and Feund T.F. Convergence and segregation of septal and median raphe inquts onto different subsets of hippocampal inhibitory interneurons. *Brain Res.* 1992 ; 594 :

- 263-72.
13. Moore R. , Halaris A.E. and Jones B.E. , Serotonin neurons of the midbrain raphe : Ascending projections. *J. Comp. Neurol.* 1978 ; 180 : 417-38.
14. Paxinos G. The rat nervous system. Academic press. 1985 ; Vol. 1-2.
15. Paxinos G. The human nervous system. Academic press. 1990 ; 1001-20.
16. Paxinos G. The rat nervous system. Academic press. 1995.
17. Paxinos G. and Watson C. The rat brain in stereotaxic coordinates. Academic press. 1986. 2nd ed.
18. Schober W. and Fischer W. Zur projektion des locus coeruleus und mesencephalen raphekerne auf die hippocampus-region der ratte : Eine studio mit meerrittich-peroxidase. *J. Hirnforsch.* 1991 ; 32 : 409-20.
19. Semba K. and etal , Brainstem afferents to the magnocellular basal forebrain studied by axonal transport , immunohistochemistry and electrophysiology in the rat. *J. Comp. Neurol.* 1998 ; 267 : 433-53.
20. Steinbusch H.W.M. Distribution of serotonin immunoreactivity in the central nervous system of the rat. Cell bodies and terminals. *Neurosci.* 1981 ; 6 : 554-618.
21. Steinbusch H.W.M. and Nieuwenhuys R. , The raphe nuclei of the rat brainstem : A cytoarchitectonic and immunohistochemical study. *Chemical Neuroanatomy*. Raven press , 1983 ; 131-207.
22. Van De Kar L.D. and Lorens S.A. Differential serotonergic innervation of individual hypothalamic nuclei and forebrain regions by the dorsal and median raphe nuclei.
23. Van Der Kooy D. and Hattori T. Bilaterally situated dorsal raphe cell bodies have only unilateral forebrain projections in rat. *Brain Res.* 1980 ; 192 : 550-4.
24. Vertes R.P. A PHA-L analysis if ascending projections of the dorsal raphe nucleus in the rat. *J. Comp. Neurol.* 1991 ; 313 : 643-68.
25. Zhou F. C. and Azmitia E. C. , Effects of 5 , 7 - Dihydroxytryptamine on HRP retrograde transport from hippocampus to midbrain raphe nuclei in the rat. *Brain Res. Bull.* , 1983 ; 10 : 445-51.